

Prowadzący instalację:

P4 Sp. z o. o.  
ul. Wynalazek 1  
02-677 Warszawa

Warszawa, 4 sty 2024

Adres do korespondencji:

P4 Sp. z o. o.  
ul. Wynalazek 1,  
02-677 Warszawa

**Starostwo Powiatowe w Radomsku**  
**Wydział Ochrony Środowiska, Rolnictwa i**  
**Leśnictwa**

## Przedłożenie informacji o zmianie danych w instalacji

o których mowa w przedłożeniu informacji dla RDM3302A z dnia 10 maj 2023

dotyczy: informacji o zmianie w zakresie danych w przedłożeniu informacji dla RDM3302A.

**Adres zakładu, na którego terenie prowadzona jest eksploatacja instalacji:**

97-500 Radomsko, 11-go Listopada 2, gm. Radomsko, pow. radomszczański

Podstawa prawna: ustawa z dnia 27 kwietnia 2001 r. Prawo ochrony środowiska, art. 152, ust 6, pkt 1, lit. c)

Niniejsza informacja zawiera wyłącznie dane, które uległy zmianie.

**1) Oznaczenie prowadzącego instalację, jego adres zamieszkania lub siedziby.**

*Brak zmian.*

**2) Rodzaj i zakres prowadzonej działalności, w tym wielkość produkcji lub wielkość świadczonych usług.**

*Usługi telekomunikacyjne, transmisja danych: 1TB/doba.*

**3) Czas funkcjonowania instalacji (dni tygodnia i godziny).**

*Brak zmian.*

**4) Wielkość i rodzaj emisji.**

*Dane przed zmianą:*

| L.p. | Nazwa anteny | Wysokość<br>[m n.p.t.] | Rodzaj<br>emisji | Równoważna<br>moc | Azymut | Kąt<br>pochylenia | Częstotliwość |
|------|--------------|------------------------|------------------|-------------------|--------|-------------------|---------------|
|------|--------------|------------------------|------------------|-------------------|--------|-------------------|---------------|

|    |         |       |     | promieniowana<br>izotropowo |      |       |                |
|----|---------|-------|-----|-----------------------------|------|-------|----------------|
| 1  | 11_H    | 63    | PEM | 7315 W                      | 30°  | 0-10° | 2600 MHz       |
| 2  | 11_H    | 63    | PEM | 7315 W                      | 90°  | 0-10° | 2600 MHz       |
| 3  | 12_GTV  | 62,7  | PEM | 4905 W                      | 30°  | 0-10° | 800 MHz        |
| 4  | 12_GTV  | 62,7  | PEM | 2610 W                      | 30°  | 0-10° | 900 MHz        |
| 5  | 12_GTV  | 62,7  | PEM | 4905 W                      | 90°  | 0-10° | 800 MHz        |
| 6  | 12_GTV  | 62,7  | PEM | 2610 W                      | 90°  | 0-10° | 900 MHz        |
| 7  | 13_DHLN | 62,45 | PEM | 11228 W                     | 28°  | 2-12° | 1800 MHz       |
| 8  | 13_DHLN | 62,45 | PEM | 12773 W                     | 28°  | 2-12° | 2100 MHz       |
| 9  | 13_DHLN | 62,45 | PEM | 11228 W                     | 92°  | 2-12° | 1800 MHz       |
| 10 | 13_DHLN | 62,45 | PEM | 12773 W                     | 92°  | 2-12° | 2100 MHz       |
| 11 | 21_H    | 63    | PEM | 7315 W                      | 150° | 0-10° | 2600 MHz       |
| 12 | 21_H    | 63    | PEM | 7315 W                      | 210° | 0-10° | 2600 MHz       |
| 13 | 22_GTV  | 62,7  | PEM | 4905 W                      | 150° | 0-10° | 800 MHz        |
| 14 | 22_GTV  | 62,7  | PEM | 2610 W                      | 150° | 0-10° | 900 MHz        |
| 15 | 22_GTV  | 62,7  | PEM | 4905 W                      | 210° | 0-10° | 800 MHz        |
| 16 | 22_GTV  | 62,7  | PEM | 2610 W                      | 210° | 0-10° | 900 MHz        |
| 17 | 23_DHLN | 62,45 | PEM | 11228 W                     | 148° | 2-12° | 1800 MHz       |
| 18 | 23_DHLN | 62,45 | PEM | 12773 W                     | 148° | 2-12° | 2100 MHz       |
| 19 | 23_DHLN | 62,45 | PEM | 11228 W                     | 212° | 2-12° | 1800 MHz       |
| 20 | 23_DHLN | 62,45 | PEM | 12773 W                     | 212° | 2-12° | 2100 MHz       |
| 21 | 31_H    | 63    | PEM | 7315 W                      | 270° | 0-10° | 2600 MHz       |
| 22 | 31_H    | 63    | PEM | 7315 W                      | 330° | 0-10° | 2600 MHz       |
| 23 | 32_GTV  | 62,7  | PEM | 4905 W                      | 270° | 0-10° | 800 MHz        |
| 24 | 32_GTV  | 62,7  | PEM | 2610 W                      | 270° | 0-10° | 900 MHz        |
| 25 | 32_GTV  | 62,7  | PEM | 4905 W                      | 330° | 0-10° | 800 MHz        |
| 26 | 32_GTV  | 62,7  | PEM | 2610 W                      | 330° | 0-10° | 900 MHz        |
| 27 | 33_DHLN | 62,45 | PEM | 11228 W                     | 268° | 2-12° | 1800 MHz       |
| 28 | 33_DHLN | 62,45 | PEM | 12773 W                     | 268° | 2-12° | 2100 MHz       |
| 29 | 33_DHLN | 62,45 | PEM | 11228 W                     | 332° | 2-12° | 1800 MHz       |
| 30 | 33_DHLN | 62,45 | PEM | 12773 W                     | 332° | 2-12° | 2100 MHz       |
| 31 | RL1     | 63    | PEM | 1413 W                      | 2°   |       | 80 GHz         |
| 32 | RL2     | 61,5  | PEM | 8822 W                      | 26°  |       | 80 GHz, 23 GHz |
| 33 | RL3     | 62    | PEM | 3162 W                      | 79°  |       | 13 GHz         |
| 34 | RL4     | 63,9  | PEM | 7586 W                      | 122° |       | 80 GHz         |
| 35 | RL5     | 61,8  | PEM | 1479 W                      | 275° |       | 23 GHz         |
| 36 | RL6     | 61,3  | PEM | 3162 W                      | 289° |       | 13 GHz         |
| 37 | RL7     | 61,3  | PEM | 9120 W                      | 320° |       | 32 GHz         |

## Dane po zmianie:

| L.p. | Nazwa anteny | Wysokość<br>[m n.p.t.] | Rodzaj<br>emisji | Równoważna<br>moc<br>promieniowana<br>izotropowo | Azymut | Kąt<br>pochylenia | Częstotliwość |
|------|--------------|------------------------|------------------|--|--------|-------------------|---------------|
| 1    | 11_H         | 63                     | PEM              | 7315 W   | 30°    | 0-10°             | 2600 MHz      |
| 2    | 11_H         | 63                     | PEM              | 7315 W   | 90°    | 0-10°             | 2600 MHz      |
| 3    | 12_GTV       | 62,7                   | PEM              | 4905 W   | 30°    | 0-10°             | 800 MHz       |
| 4    | 12_GTV       | 62,7                   | PEM              | 2610 W   | 30°    | 0-10°             | 900 MHz       |
| 5    | 12_GTV       | 62,7                   | PEM              | 4905 W   | 90°    | 0-10°             | 800 MHz       |

|    |         |       |     |         |      |       |                |
|----|---------|-------|-----|---------|------|-------|----------------|
| 6  | 12_GTV  | 62,7  | PEM | 2610 W  | 90°  | 0-10° | 900 MHz        |
| 7  | 13_DHLN | 62,45 | PEM | 11228 W | 28°  | 2-12° | 1800 MHz       |
| 8  | 13_DHLN | 62,45 | PEM | 12773 W | 28°  | 2-12° | 2100 MHz       |
| 9  | 13_DHLN | 62,45 | PEM | 11228 W | 92°  | 2-12° | 1800 MHz       |
| 10 | 13_DHLN | 62,45 | PEM | 12773 W | 92°  | 2-12° | 2100 MHz       |
| 11 | 21_H    | 63    | PEM | 7315 W  | 150° | 0-10° | 2600 MHz       |
| 12 | 21_H    | 63    | PEM | 7315 W  | 210° | 0-10° | 2600 MHz       |
| 13 | 22_GTV  | 62,7  | PEM | 4905 W  | 150° | 0-10° | 800 MHz        |
| 14 | 22_GTV  | 62,7  | PEM | 2610 W  | 150° | 0-10° | 900 MHz        |
| 15 | 22_GTV  | 62,7  | PEM | 4905 W  | 210° | 0-10° | 800 MHz        |
| 16 | 22_GTV  | 62,7  | PEM | 2610 W  | 210° | 0-10° | 900 MHz        |
| 17 | 23_DHLN | 62,45 | PEM | 11228 W | 148° | 2-12° | 1800 MHz       |
| 18 | 23_DHLN | 62,45 | PEM | 12773 W | 148° | 2-12° | 2100 MHz       |
| 19 | 23_DHLN | 62,45 | PEM | 11228 W | 212° | 2-12° | 1800 MHz       |
| 20 | 23_DHLN | 62,45 | PEM | 12773 W | 212° | 2-12° | 2100 MHz       |
| 21 | 31_H    | 63    | PEM | 7315 W  | 270° | 0-10° | 2600 MHz       |
| 22 | 31_H    | 63    | PEM | 7315 W  | 330° | 0-10° | 2600 MHz       |
| 23 | 32_GTV  | 62,7  | PEM | 4905 W  | 270° | 0-10° | 800 MHz        |
| 24 | 32_GTV  | 62,7  | PEM | 2610 W  | 270° | 0-10° | 900 MHz        |
| 25 | 32_GTV  | 62,7  | PEM | 4905 W  | 330° | 0-10° | 800 MHz        |
| 26 | 32_GTV  | 62,7  | PEM | 2610 W  | 330° | 0-10° | 900 MHz        |
| 27 | 33_DHLN | 62,45 | PEM | 11228 W | 268° | 2-12° | 1800 MHz       |
| 28 | 33_DHLN | 62,45 | PEM | 12773 W | 268° | 2-12° | 2100 MHz       |
| 29 | 33_DHLN | 62,45 | PEM | 11228 W | 332° | 2-12° | 1800 MHz       |
| 30 | 33_DHLN | 62,45 | PEM | 12773 W | 332° | 2-12° | 2100 MHz       |
| 31 | RL1     | 63    | PEM | 1413 W  | 2°   |       | 80 GHz         |
| 32 | RL2     | 61,5  | PEM | 8822 W  | 26°  |       | 80 GHz, 23 GHz |
| 33 | RL3     | 62    | PEM | 1820 W  | 70°  |       | 80 GHz         |
| 34 | RL4     | 62    | PEM | 3162 W  | 79°  |       | 13 GHz         |
| 35 | RL5     | 61,8  | PEM | 1479 W  | 275° |       | 23 GHz         |
| 36 | RL6     | 61,3  | PEM | 3162 W  | 289° |       | 13 GHz         |
| 37 | RL7     | 61,3  | PEM | 9120 W  | 320° |       | 32 GHz         |

**5) Opis stosowanych metod ograniczania wielkości emisji.**

*Brak zmian.*

**6) Informacja, czy stopień ograniczania wielkości emisji jest zgodny z obowiązującymi przepisami.**

*Stopień ograniczenia wielkości emisji jest zgodny z obowiązującymi przepisami.*

**7) (uchylony)**

*-/-*

**8) Sprawozdanie z wykonanych pomiarów poziomów pól EM, o których mowa w art. 122a ust. 1 pkt 1.**

*Sprawozdanie nr 67/12/OŚ/2023 -P4-W z dnia 28 gru 2023, Nr akredytacji PCA – AB 1630.*

The logo consists of the word "PLAY" in white, uppercase, sans-serif font, centered within a solid purple rectangular background.The logo features the word "iliad" in a red, lowercase, sans-serif font, with the word "GROUP" in a smaller, black, uppercase, sans-serif font positioned directly below it. A thin vertical red line is located to the left of the text.

Koordinator OŚ  
Alicja Bogumił  
kom. 790004096



Laboratorium EMVO Sp. J. Urbański, Pawelak  
ul. Jasna 1  
00-013 Warszawa

tel. +48 22 780 29 64

e-mail: laboratorium@emvo.pl



AB 1630

## Sprawozdanie z pomiarów pól elektromagnetycznych - środowisko nr 67/12/OŚ/2023 -P4-W



|                          |   |                                 |
|--------------------------|---|---------------------------------|
| <b>Nr i nazwa stacji</b> | <b>RDM3302A</b>   |                                 |
| <b>Adres</b>             | <b>Radomsko, 11-go Listopada 2, pow. radomszczański, woj. łódzkie</b> |                                 |
| <b>Opracowanie</b>       | <b>Gabriel Karczmarczyk</b>   | <b>Specjalista ds. pomiarów</b> |
| <b>Autoryzacja</b>       | <b>Andrzej Urbański</b>   | <b>Kierownik Laboratorium</b>   |
| <b>Podpis</b>            |   |                                 |
| <b>Data</b>              | <b>2023-12-28</b>   |                                 |

## Spis treści

|   |    |
|---|----|
| 1. Informacje ogólne.....   | 3  |
| 2. Podstawa prawna. ....  | 3  |
| 3. Opis pomiarów.....   | 3  |
| 4. Zróżnicowanie dopuszczalne poziomy pól elektromagnetycznych..... | 5  |
| 5. Charakterystyka źródeł PEM.....                                  | 5  |
| 6. Wyniki pomiarów.....   | 5  |
| 7. Stwierdzenie zgodności .....                                     | 7  |
| 8. Oświadczenie.....  | 10 |
| 9. Spis załączników. ....   | 11 |

## 1. Informacje ogólne.

|   |   |
|---|---|
| Zleceniodawca   | <b>P4 sp. z o.o.,</b><br>ul. Wynałazek 1,<br>02-677 Warszawa<br>osoba udzielająca informacji-<br>Monika Bieroza |
| Istotne informacje dostarczone przez klienta                            | komplet informacji niezbędnych do wykonania pomiarów i opracowania sprawozdania                                 |
| Dane otrzymane od klienta mogące mieć wpływ na ważność wyników          | Dane anten sektorowych, dane anten radioliniowych, parametry pracy instalacji, ustawienie pochylenia anten      |
| Prowadzący instalację   | P4 sp. z o.o., ul. Wynałazek 1, 02-677 Warszawa   |
| Lokalizacja obiektu   | Radomsko, 11-go Listopada 2, pow. radomszczański, woj. łódzkie  |
| Miejsce instalacji anten  | Komin   |
| Miejsce instalacji urządzeń   | Outdoor   |
| Osoby wykonujące pomiar   | Daniel Józwiak / Daniel Józwiak   |
| Data wykonania pomiaru  | 2023-12-21 / 2023-12-28   |
| Temperatura na początku pomiaru [°C]                                    | 5,1 / 4,5   |
| Temperatura na koniec pomiaru [°C]                                      | 5,4 / 4,5   |
| Warunki atmosferyczne   | Brak opadów   |
| Wilgotność na początku pomiaru [%]                                      | 76,0 / 80,0   |
| Wilgotność na koniec pomiaru [%]  | 74,0 / 80,0   |
| Godzina na początku pomiaru   | 13:07 / 15:21   |
| Godzina na koniec pomiaru   | 14:19 / 16:50   |
| Inne źródła pól elektromagnetycznych oznaczone na załączniku graficznym | Występują   |
| Parametry pracy instalacji  | Tryb eksploatacyjny   |

## 2. Podstawa prawna.

### 2.1 Normy i rozporządzenia:

- Ustawa z dnia 27 kwietnia 2001 r. Prawo Ochrony Środowiska (Dz. U. z 2022 r., poz 2556 z późn. zm.)
- Rozporządzenia Ministra Zdrowia z dnia 17 grudnia 2019 r. w sprawie dopuszczalnych poziomów pól elektromagnetycznych w środowisku (Dz. U. z 2019 r., poz. 2448),
- Rozporządzenie Ministra Klimatu z dnia 17.02.2020 r. w sprawie sposobów sprawdzania dotrzymania dopuszczalnych poziomów pól elektromagnetycznych w środowisku (Dz. U. z 2022 r., poz. 2630).

### 3. Opis pomiarów

|                          |   |
|--------------------------|---|
| Metodologia pomiarowa    | Pomiary w oparciu o Rozporządzenie Ministra Klimatu z dnia 17 lutego 2020 r. w sprawie sposobów sprawdzania dotrzymania dopuszczalnych poziomów pól elektromagnetycznych w środowisku (Dz.U. 2022 poz. 2630).   |
| Cel badań                | Określenie wartości natężenia pola elektrycznego w miejscach dostępnych dla ludności.   |
| Opis zestawu pomiarowego | Miernik Narda NBM 520, Sonda EF 9091, o zakresie pomiarowym 0,7 V/m - 300V/m pracująca w paśmie 80 MHz – 90 GHz, świadectwo wydane przez Laboratorium Wzorców i Metrologii Pola Elektromagnetycznego, Instytut Telekomunikacji, Teleinformatyki i Akustyki Politechniki Wrocławskiej, numer świadectwa: LWIMP/W/264/23, świadectwo ważne do 27.06.2025r.<br>Miernik Narda NBM 520, Sonda EF 9091 pracująca w zakresie temperatury -10°C - +50°C oraz wilgotności 5% - 95%.<br>Niepewność rozszerzona 55,2% przy poziomie ufności 95% z uwzględnieniem współczynnika rozszerzenia k=2.   |
| Wyposażenie pomocnicze   | Termohigrometr Bestone, Nr. inwentarzowy 07/WL, typ: GM1362-EN-00, nr identyfikacyjny 1222436, świadectwo wzorcowania z dn. 03.04.2017r. wydane przez Laboratorium Pomiarowe "MUTECH".<br>Przymiar wstęgowy STABILA, Nr. inwentarzowy 18/WL, nr seryjny 10721, świadectwo wzorcowania nr. 6W1/1551/17 z dn. 19.06.2017r. wydane przez Zespół Laboratoriów wzorcujących Okręgowego Urzędu Miar w Gdańsku.<br>GPS Garmin 64s okresowo sprawdzany w punktach osnowy geodezyjnej klasy 3 na podstawie licencji punktu, zgodnie z procedurą sprawdzeń okresowych IS/PO-16-11/03.   |
| Pomiary zostały wykonane | <ol style="list-style-type: none"><li>1. na głównych i pomocniczych kierunkach pomiarowych, na kierunkach zbliżonych do azymutów anten oraz w dodatkowych pionach pomiarowych zgodnie z wymaganiami pkt 12, 13, 14 i 19 Rozporządzenia Ministra Klimatu z dnia 17 lutego 2020 r. (Dz.U. 2022 poz. 2630). Wybór i lokalizacja pionów pomiarowych, w tym znajdujących się wewnątrz lokali, zostały ustalone zgodnie z procedurą laboratorium nr PP-7.3/7.4/7.5-11, z uwzględnieniem: rodzaju badanej instalacji (w tym parametrów technicznych instalacji), lokalizacji badanej instalacji, ukształtowania terenu wokół badanej instalacji.</li><li>2. na obszarze pomiarowym, dla którego, na podstawie uprzednio przeprowadzonych obliczeń stwierdzono w miejscach dostępnych dla ludności występowanie pól elektromagnetycznych o najwyższym poziomie, które pochodzą z badanej instalacji zgodnie z wymaganiami pkt 5 ppkt 2 oraz pkt 13 ppkt 1 Rozporządzenia Ministra Klimatu z dnia 17 lutego 2020 r. w sprawie sposobów sprawdzania dotrzymania dopuszczalnych poziomów pól elektromagnetycznych w środowisku (Dz.U. 2022 poz. 2630). Wyniki obliczeń nie uwzględniały parametrów pracy instalacji innych operatorów występujących na obiekcie bądź w obszarze pomiarowym.</li><li>3. w miejscach dostępnych dla ludności.</li><li>4. miejsca niedostępne podczas wykonywania pomiarów wskazane zostały w pkt 6 (tabeli wyniki pomiarów)</li><li>5. w dodatkowych pionach pomiarowych w lokalach oraz na balkonach i tarasach, na których mogą przebywać ludzie, po poinformowaniu o planowanych pomiarach z minimum 3-dniowym wyprzedzeniem i po umożliwieniu dostępu do lokalu, balkonu lub tarasu przez jego</li></ol> |



dysponenta lub bez zachowania terminu wskazanego w pierwszej części zdania za zgodą dysponenta przestrzeni pomiarowej.

Sposób powiadamiania dysponentów

Zgodnie z pkt 14 Rozporządzenia Ministra Klimatu z dnia 17 lutego 2020 r. w sprawie sposobów sprawdzania dotrzymania dopuszczalnych poziomów pól elektromagnetycznych w środowisku (Dz.U. 2022 poz. 2630). poinformowano dysponentów lokali o planowanych pomiarach.  
Informacji dokonano między innymi poprzez:

1. bloki mieszkalne – zawiadomienie spółdzielni mieszkaniowej, zarządcy nieruchomości, zarządu wspólnoty, umieszczenie informacji o planowanych pomiarach na tablicach ogłoszeń w klatkach schodowych bloków lub na drzwiach wejściowych,
2. biurowce, budynki użyteczności publicznej itp. - przekazanie zawiadomienia do administracji lub recepcji obiektu,
3. domy jednorodzinne, szeregowce itp.- pozostawienie informacji w skrynkach pocztowych itp. lub przekazanie osobiste.

Warunki pracy urządzeń nadawczych

Tryb pracy eksploatacyjny.

#### 4. Zróżnicowanie dopuszczalne poziomy pól elektromagnetycznych.

Zakresy znajdują się w Dzienniku Ustaw z dnia 17 grudnia 2019 r. przedstawione są w tabeli nr 2 (Dz. U. z 2019r. poz. 2448).

| Parametr fizyczny                               | Składowa elektryczna E (V/m) | Składowa magnetyczna H (A/m) | Gęstość mocy S (W/m <sup>2</sup> ) |
|---|------------------------------|------------------------------|------------------------------------|
| Zakres Czystotliwości pola elektromagnetycznego |                              |                              |                                    |
| od 400 MHz do 2000 MHz                          | $1,375 \times f^{0,5}$       | $0,0037 \times f^{0,5}$      | $f / 200$                          |
| od 2 GHz do 300 GHz                             | 61                           | 0,16                         | 10                                 |

#### 5. Charakterystyka źródeł PEM.

Zgodnie z informacją otrzymaną od Klienta pomiary zostały wykonane przy ustawieniach pochyleń anten zgodnych z pkt. 13, ppkt 2 Rozporządzenia Ministra Klimatu z dnia 17 lutego 2020 roku.

Tabela 1. Anteny sektorowe – dane otrzymane od klienta

|                                   |   |                   |          |                  |          |                  |       |                  |         |                  |          |  |
|-----------------------------------|---|-------------------|----------|------------------|----------|------------------|-------|------------------|---------|------------------|----------|--|
| Charakterystyka promieniowania    |   | kierunkowa        |          |                  |          |                  |       |                  |         |                  |          |  |
| Rzeczywisty czas pracy [h/dobę]   |   | 24                |          |                  |          |                  |       |                  |         |                  |          |  |
| Rodzaj wytwarzanego pola          |   | stacjonarne       |          |                  |          |                  |       |                  |         |                  |          |  |
| Lp                                | Wyszczególnienie                        | sektor 1          |          |                  | sektor 2 |                  |       | sektor 3         |         |                  | sektor 4 |  |
| <b>I Nadajnik stacji bazowej:</b> |   |                   |          |                  |          |                  |       |                  |         |                  |          |  |
| 1                                 | Typ / Producent                         | DBS / SRAN Huawei |          |                  |          |                  |       |                  |         |                  |          |  |
| 2                                 | Częstotliwość (pasmo) MHz               | 2100              | 1800     | 900              | 800      | 2600             | 900   | 800              | 2600    | 2100             | 1800     |  |
| 3                                 | Maksymalna moc nadawana na sektor [dBm] | 52,04             | 52,04    | 46,02            | 49,03    | 49,03            | 46,02 | 49,03            | 49,03   | 52,04            | 52,04    |  |
| <b>II Obciążenie:</b>             |   |                   |          |                  |          |                  |       |                  |         |                  |          |  |
| 1                                 | Typ anteny                              | Huawei AMB4520R9  |          | Huawei AMB4519R0 |          | Huawei AMB4520R0 |       | Huawei AMB4519R0 |         | Huawei AMB4520R0 |          |  |
| 2                                 | Producent anteny                        | Huawei            |          | Huawei           |          | Huawei           |       | Huawei           |         | Huawei           |          |  |
| 3                                 | Nazwa anteny                            | 13_DH LN          | 13_DH LN | 12_GT V          | 12_GT V  | 11_H             |       | 12_GT V          | 12_GT V | 11_H             |          |  |
| 4                                 | Ilość anten                             | 1                 |          | 1                |          | 1                |       | 1                |         | 1                |          |  |
| 5                                 | Azymut                                  | 28                |          | 30               |          | 90               |       | 92               |         |                  |          |  |
| 6                                 | Zakres kątów pochylenia anten [°]       | 2,00-12,00        |          | 0,00-10,00       |          | 0,00-10,00       |       | 2,00-12,00       |         |                  |          |  |
| 7                                 | Wysokość zainst. n.p.t. [m]             | 62,45             |          | 62,70            |          | 63,00            |       | 62,70            |         | 63,00            |          |  |
| 8                                 | EIRP [W]                                | 24001             |          | 7515             |          | 7315             |       | 7515             |         | 7315             |          |  |

|                                   |   |                   |          |                  |          |                  |       |                  |         |                  |          |  |
|-----------------------------------|---|-------------------|----------|------------------|----------|------------------|-------|------------------|---------|------------------|----------|--|
| Charakterystyka promieniowania    |   | kierunkowa        |          |                  |          |                  |       |                  |         |                  |          |  |
| Rzeczywisty czas pracy [h/dobę]   |   | 24                |          |                  |          |                  |       |                  |         |                  |          |  |
| Rodzaj wytwarzanego pola          |   | stacjonarne       |          |                  |          |                  |       |                  |         |                  |          |  |
| Lp                                | Wyszczególnienie                        | sektor 5          |          |                  | sektor 6 |                  |       | sektor 7         |         |                  | sektor 8 |  |
| <b>I Nadajnik stacji bazowej:</b> |   |                   |          |                  |          |                  |       |                  |         |                  |          |  |
| 1                                 | Typ / Producent                         | DBS / SRAN Huawei |          |                  |          |                  |       |                  |         |                  |          |  |
| 2                                 | Częstotliwość (pasmo) MHz               | 2100              | 1800     | 900              | 800      | 2600             | 900   | 800              | 2600    | 2100             | 1800     |  |
| 3                                 | Maksymalna moc nadawana na sektor [dBm] | 52,04             | 52,04    | 46,02            | 49,03    | 49,03            | 46,02 | 49,03            | 49,03   | 52,04            | 52,04    |  |
| <b>II Obciążenie:</b>             |   |                   |          |                  |          |                  |       |                  |         |                  |          |  |
| 1                                 | Typ anteny                              | Huawei AMB4520R9  |          | Huawei AMB4519R0 |          | Huawei AMB4520R0 |       | Huawei AMB4519R0 |         | Huawei AMB4520R0 |          |  |
| 2                                 | Producent anteny                        | Huawei            |          | Huawei           |          | Huawei           |       | Huawei           |         | Huawei           |          |  |
| 3                                 | Nazwa anteny                            | 23_DH LN          | 23_DH LN | 22_GT V          | 22_GT V  | 21_H             |       | 22_GT V          | 22_GT V | 21_H             |          |  |
| 4                                 | Ilość anten                             | 1                 |          | 1                |          | 1                |       | 1                |         | 1                |          |  |
| 5                                 | Azymut                                  | 148               |          | 150              |          | 210              |       | 212              |         |                  |          |  |
| 6                                 | Zakres kątów pochylenia anten [°]       | 2,00-12,00        |          | 0,00-10,00       |          | 0,00-10,00       |       | 2,00-12,00       |         |                  |          |  |
| 7                                 | Wysokość zainst. n.p.t. [m]             | 62,45             |          | 62,70            |          | 63,00            |       | 62,70            |         | 63,00            |          |  |
| 8                                 | EIRP [W]                                | 24001             |          | 7515             |          | 7315             |       | 7515             |         | 7315             |          |  |

|                                   |   |                   |          |                  |           |                  |       |                  |         |                  |                   |  |
|-----------------------------------|---|-------------------|----------|------------------|-----------|------------------|-------|------------------|---------|------------------|-------------------|--|
| Charakterystyka promieniowania    |   | kierunkowa        |          |                  |           |                  |       |                  |         |                  |                   |  |
| Rzeczywisty czas pracy [h/dobę]   |   | 24                |          |                  |           |                  |       |                  |         |                  |                   |  |
| Rodzaj wytwarzanego pola          |   | stacjonarne       |          |                  |           |                  |       |                  |         |                  |                   |  |
| L p                               | Wyszczególnienie                        | sektor 9          |          |                  | sektor 10 |                  |       | sektor 11        |         |                  | sektor 12         |  |
| I <b>Nadajnik stacji bazowej:</b> |   |                   |          |                  |           |                  |       |                  |         |                  |                   |  |
| 1                                 | Typ / Producent                         | DBS / SRAN Huawei |          |                  |           |                  |       |                  |         |                  |                   |  |
| 2                                 | Częstotliwość (pasmo) MHz               | 2100              | 1800     | 900              | 800       | 2600             | 900   | 800              | 2600    | 2100             | 1800              |  |
| 3                                 | Maksymalna moc nadawana na sektor [dBm] | 52,04             | 52,04    | 46,02            | 49,03     | 49,03            | 46,02 | 49,03            | 49,03   | 52,04            | 52,04             |  |
| II <b>Obciążenie:</b>             |   |                   |          |                  |           |                  |       |                  |         |                  |                   |  |
| 1                                 | Typ anteny                              | Huawei AMB4520R9  |          | Huawei AMB4519R0 |           | Huawei AMB4520R0 |       | Huawei AMB4519R0 |         | Huawei AMB4520R0 |                   |  |
| 2                                 | Producent anteny                        | Huawei            |          | Huawei           |           | Huawei           |       | Huawei           |         | Huawei           |                   |  |
| 3                                 | Nazwa anteny                            | 33_DH LN          | 33_DH LN | 32_GT V          | 32_GT V   | 31_H             |       | 32_GT V          | 32_GT V | 31_H             | 33_DH LN 33_DH LN |  |
| 4                                 | Ilość anten                             | 1                 |          | 1                |           | 1                |       | 1                |         | 1                |                   |  |
| 5                                 | Azymut                                  | 268               |          | 270              |           |                  |       | 330              |         |                  | 332               |  |
| 6                                 | Zakres kątów pochyleń anten [°]         | 2,00-12,00        |          | 0,00-10,00       |           |                  |       | 0,00-10,00       |         |                  | 2,00-12,00        |  |
| 7                                 | Wysokość zainst. n.p.t. [m]             | 62,45             |          | 62,70            |           | 63               |       | 62,7             |         | 63               | 62,45             |  |
| 8                                 | EIRP [W]                                | 24001             |          | 7515             |           | 7315             |       | 7515             |         | 7315             | 24001             |  |

Tabela 2. Anteny radioliniowe– dane otrzymane od klienta

|                                 |                    |                           |                     |                           |                     |            |                        |
|---------------------------------|--------------------|---------------------------|---------------------|---------------------------|---------------------|------------|------------------------|
| Charakterystyka promieniowania  |                    |                           |                     | kierunkowa                |                     |            |                        |
| Rzeczywisty czas pracy [h/dobę] |                    |                           |                     | 24                        |                     |            |                        |
| Rodzaj wytwarzanego pola        |                    |                           |                     | stacjonarne               |                     |            |                        |
| L p                             | Linia radiowa      |                           |                     | Antena                    |                     |            |                        |
|                                 | typ/producent      | częstotliwość pracy [GHz] | moc wyjściowa [dBm] | typ/producent             | średnica anteny [m] | azymut [°] | wysokość zainstal. [m] |
| 1                               | OPTIX RTN/HUAWEI   | 80                        | 18                  | VHLP1-80/Andrew           | 0,3                 | 2          | 63,00                  |
| 2                               | OPTIX RTN/HUAWEI   | 80/23                     | 18/25               | A23S80S06/Huawei          | 0,6                 | 26         | 61,50                  |
| 3                               | MINI-LINK/ERICSSON | 80                        | 18                  | ANT2 B 0.3 80 HP/Ericsson | 0,3                 | 70         | 62,00                  |
| 4                               | OPTIX RTN/HUAWEI   | 13                        | 29                  | VHLPX2-13/Andrew          | 0,6                 | 79         | 62,00                  |
| 5                               | OPTIX RTN/HUAWEI   | 23                        | 21                  | VHLPX2-23/Andrew          | 0,6                 | 275        | 61,80                  |
| 6                               | OPTIX RTN/HUAWEI   | 13                        | 29                  | VHLPX2-13/Andrew          | 0,6                 | 289        | 61,30                  |
| 7                               | OPTIX RTN/HUAWEI   | 32                        | 26                  | VHLPX2-32/Andrew          | 0,6                 | 320        | 61,30                  |

## 6. Wyniki pomiarów.

Wyniki pomiarów pól elektromagnetycznych dla celów ochrony środowiska przedstawia poniższa tabela. Piony pomiarowe zostały przedstawione w zał. 2.

| Nr PP | Pole-E [V/m] | Pole-E, +U [V/m] | Pole-H [A/m] | Pole-H +U [A/m] | Wys. pomiaru [m] | Opis pionu                     | Uwagi   | WM <sub>E</sub> | WM <sub>H</sub> |
|-------|--------------|------------------|--------------|-----------------|------------------|--------------------------------|---|-----------------|-----------------|
| 1     | 1,6          | 2,48             | 0,004        | 0,007           | 0,3-2,0          | N:51°04'40.7"<br>E:19°25'54.9" | otoczenie stacji bazowej - 100m wzdłuż gł. osi promieniowania - GKP | 0,089           | 0,090           |
| 2     | 1,4          | 2,17             | 0,004        | 0,006           | 0,3-2,0          | N:51°04'43.6"<br>E:19°25'57.4" | otoczenie stacji bazowej - 200m wzdłuż gł. osi promieniowania - GKP | 0,078           | 0,079           |

„Bez pisemnej zgody Laboratorium niniejsze sprawozdanie nie może być powielane inaczej, jak tylko w całości. Ponadto wyniki dotyczą tylko badanych obiektów przywołanych w niniejszym sprawozdaniu z badań”

| Nr PP | Pole-E [V/m] | Pole-E, +U [V/m] | Pole-H [A/m] | Pole-H +U [A/m] | Wys. pomiaru [m] | Opis pionu                     | Uwagi  | WM <sub>E</sub> | WM <sub>H</sub> |
|-------|--------------|------------------|--------------|-----------------|------------------|--------------------------------|--|-----------------|-----------------|
| 3     | 1,5          | 2,33             | 0,004        | 0,006           | 0,3-2,0          | N:51°04'45.4"<br>E:19°25'58.8" | otoczenie stacji bazowej - 260m<br>wzdłuż gł. osi promieniowania - GKP | 0,083           | 0,085           |
| 4     | 1,8          | 2,79             | 0,005        | 0,007           | 0,3-2,0          | N:51°04'49.5"<br>E:19°26'02.3" | otoczenie stacji bazowej - 410m<br>wzdłuż gł. osi promieniowania- GKP  | 0,100           | 0,102           |
| 5     | 2,2          | 3,41             | 0,006        | 0,009           | 0,3-2,0          | N:51°04'52.2"<br>E:19°26'04.6" | otoczenie stacji bazowej - 500m<br>wzdłuż gł. osi promieniowania - GKP | 0,122           | 0,124           |
| 6     | 1,8          | 2,79             | 0,005        | 0,007           | 0,3-2,0          | N:51°04'55.5"<br>E:19°26'07.3" | otoczenie stacji bazowej - 620m<br>wzdłuż gł. osi promieniowania - GKP | 0,100           | 0,102           |
| 7     | 1,2          | 1,86             | 0,003        | 0,005           | 0,3-2,0          | N:51°04'37.8"<br>E:19°25'57.1" | otoczenie stacji bazowej - 90m<br>wzdłuż gł. osi promieniowania - GKP  | 0,067           | 0,068           |
| 8     | 1,5          | 2,33             | 0,004        | 0,006           | 0,3-2,0          | N:51°04'37.8"<br>E:19°26'02.8" | otoczenie stacji bazowej - 200m<br>wzdłuż gł. osi promieniowania - GKP | 0,083           | 0,085           |
| 9     | 1,2          | 1,86             | 0,003        | 0,005           | 0,3-2,0          | N:51°04'37.8"<br>E:19°26'08.3" | otoczenie stacji bazowej - 310m<br>wzdłuż gł. osi promieniowania - GKP | 0,067           | 0,068           |
| 10    | 1,1          | 1,71             | 0,003        | 0,005           | 0,3-2,0          | N:51°04'37.8"<br>E:19°26'12.9" | otoczenie stacji bazowej - 400m<br>wzdłuż gł. osi promieniowania- GKP  | 0,061           | 0,062           |
| 11    | 1,0          | 1,55             | 0,003        | 0,004           | 0,3-2,0          | N:51°04'37.7"<br>E:19°26'18.2" | otoczenie stacji bazowej - 500m<br>wzdłuż gł. osi promieniowania - GKP | 0,055           | 0,056           |
| 12    | 1,0          | 1,55             | 0,003        | 0,004           | 0,3-2,0          | N:51°04'37.7"<br>E:19°26'23.1" | otoczenie stacji bazowej - 600m<br>wzdłuż gł. osi promieniowania - GKP | 0,055           | 0,056           |
| 13    | 1,5          | 2,33             | 0,004        | 0,006           | 0,3-2,0          | N:51°04'35.1"<br>E:19°25'55.1" | otoczenie stacji bazowej - 100m<br>wzdłuż gł. osi promieniowania - GKP | 0,083           | 0,085           |
| 14    | 1,0          | 1,55             | 0,003        | 0,004           | 0,3-2,0          | N:51°04'31.2"<br>E:19°25'58.9" | otoczenie stacji bazowej - 240m<br>wzdłuż gł. osi promieniowania - GKP | 0,055           | 0,056           |
| 15    | 1,0          | 1,55             | 0,003        | 0,004           | 0,3-2,0          | N:51°04'29.0"<br>E:19°26'00.9" | otoczenie stacji bazowej - 320m<br>wzdłuż gł. osi promieniowania - GKP | 0,055           | 0,056           |
| 16    | 0,8          | 1,24             | 0,002        | 0,003           | 0,3-2,0          | N:51°04'26.3"<br>E:19°26'03.6" | otoczenie stacji bazowej - 415m<br>wzdłuż gł. osi promieniowania- GKP  | 0,044           | 0,045           |
| 17    | 0,7*         | 1,24             | 0,002        | 0,003           | 0,3-2,0          | N:51°04'24.0"<br>E:19°26'05.8" | otoczenie stacji bazowej - 500m<br>wzdłuż gł. osi promieniowania - GKP | 0,044           | 0,045           |
| 18    | 0,7*         | 1,24             | 0,002        | 0,003           | 0,3-2,0          | N:51°04'21.6"<br>E:19°26'08.2" | otoczenie stacji bazowej - 580m<br>wzdłuż gł. osi promieniowania - GKP | 0,044           | 0,045           |
| 19    | 2,2          | 3,41             | 0,006        | 0,009           | 0,3-2,0          | N:51°04'36.7"<br>E:19°25'51.3" | otoczenie stacji bazowej - 45m<br>wzdłuż gł. osi promieniowania - GKP  | 0,122           | 0,124           |
| 20    | 1,0          | 1,55             | 0,003        | 0,004           | 0,3-2,0          | N:51°04'32.4"<br>E:19°25'46.8" | otoczenie stacji bazowej - 200m<br>wzdłuż gł. osi promieniowania - GKP | 0,055           | 0,056           |
| 21    | 1,5          | 2,33             | 0,004        | 0,006           | 0,3-2,0          | N:51°04'30.3"<br>E:19°25'44.7" | otoczenie stacji bazowej - 280m<br>wzdłuż gł. osi promieniowania - GKP | 0,083           | 0,085           |
| 22    | 1,3          | 2,02             | 0,003        | 0,005           | 0,3-2,0          | N:51°04'29.0"<br>E:19°25'43.4" | otoczenie stacji bazowej - 320m<br>wzdłuż gł. osi promieniowania- GKP  | 0,072           | 0,073           |
| 23    | 1,2          | 1,86             | 0,003        | 0,005           | 0,3-2,0          | N:51°04'24.4"<br>E:19°25'38.5" | otoczenie stacji bazowej - 500m<br>wzdłuż gł. osi promieniowania - GKP | 0,067           | 0,068           |
| 24    | 1,0          | 1,55             | 0,003        | 0,004           | 0,3-2,0          | N:51°04'22.5"<br>E:19°25'36.5" | otoczenie stacji bazowej - 560m<br>wzdłuż gł. osi promieniowania - GKP | 0,055           | 0,056           |
| 25    | 1,2          | 1,86             | 0,003        | 0,005           | 0,3-2,0          | N:51°04'37.9"<br>E:19°25'42.0" | otoczenie stacji bazowej - 200m<br>wzdłuż gł. osi promieniowania - GKP | 0,067           | 0,068           |
| 26    | 1,5          | 2,33             | 0,004        | 0,006           | 0,3-2,0          | N:51°04'37.9"<br>E:19°25'37.1" | otoczenie stacji bazowej - 300m<br>wzdłuż gł. osi promieniowania - GKP | 0,083           | 0,085           |
| 27    | 1,5          | 2,33             | 0,004        | 0,006           | 0,3-2,0          | N:51°04'37.9"<br>E:19°25'31.9" | otoczenie stacji bazowej - 400m<br>wzdłuż gł. osi promieniowania - GKP | 0,083           | 0,085           |
| 28    | 1,2          | 1,86             | 0,003        | 0,005           | 0,3-2,0          | N:51°04'37.9"<br>E:19°25'26.8" | otoczenie stacji bazowej - 500m<br>wzdłuż gł. osi promieniowania- GKP  | 0,067           | 0,068           |
| 29    | 1,0          | 1,55             | 0,003        | 0,004           | 0,3-2,0          | N:51°04'37.9"<br>E:19°25'20.6" | otoczenie stacji bazowej - 620m<br>wzdłuż gł. osi promieniowania - GKP | 0,055           | 0,056           |
| 30    | 1,0          | 1,55             | 0,003        | 0,004           | 0,3-2,0          | N:51°04'40.8"<br>E:19°25'50.1" | otoczenie stacji bazowej - 100m<br>wzdłuż gł. osi promieniowania - GKP | 0,055           | 0,056           |
| 31    | 1,0          | 1,55             | 0,003        | 0,004           | 0,3-2,0          | N:51°04'43.6"<br>E:19°25'47.7" | otoczenie stacji bazowej - 200m<br>wzdłuż gł. osi promieniowania - GKP | 0,055           | 0,056           |
| 32    | 1,3          | 2,02             | 0,003        | 0,005           | 0,3-2,0          | N:51°04'46.5"<br>E:19°25'45.4" | otoczenie stacji bazowej - 300m<br>wzdłuż gł. osi promieniowania - GKP | 0,072           | 0,073           |
| 33    | 1,5          | 2,33             | 0,004        | 0,006           | 0,3-2,0          | N:51°04'49.4"<br>E:19°25'42.9" | otoczenie stacji bazowej - 400m<br>wzdłuż gł. osi promieniowania- GKP  | 0,083           | 0,085           |

„Bez pisemnej zgody Laboratorium niniejsze sprawozdanie nie może być powielane inaczej, jak tylko w całości. Ponadto wyniki dotyczą tylko badanych obiektów przywołanych w niniejszym sprawozdaniu z badań”

| Nr PP | Pole-E [V/m] | Pole-E, +U [V/m] | Pole-H [A/m] | Pole-H +U [A/m] | Wys. pomiaru [m] | Opis pionu                     | Uwagi  | WM <sub>E</sub> | WM <sub>H</sub> |
|-------|--------------|------------------|--------------|-----------------|------------------|--------------------------------|--|-----------------|-----------------|
| 34    | 1,4          | 2,17             | 0,004        | 0,006           | 0,3-2,0          | N:51°04'52.3"<br>E:19°25'40.5" | otoczenie stacji bazowej - 500m<br>wzdłuż gł. osi promieniowania - GKP | 0,078           | 0,079           |
| 35    | 1,2          | 1,86             | 0,003        | 0,005           | 0,3-2,0          | N:51°04'55.6"<br>E:19°25'37.7" | otoczenie stacji bazowej - 620m<br>wzdłuż gł. osi promieniowania - GKP | 0,067           | 0,068           |
| 36    | 1,8          | 2,79             | 0,005        | 0,007           | 0,3-2,0          | N:51°04'39.5"<br>E:19°25'52.7" | otoczenie stacji bazowej - 50m<br>wzdłuż gł. osi promieniowania - GKP  | 0,100           | 0,102           |
| 37    | 1,2          | 1,86             | 0,003        | 0,005           | 0,3-2,0          | N:51°04'41.1"<br>E:19°25'52.9" | otoczenie stacji bazowej - 100m<br>wzdłuż gł. osi promieniowania - GKP | 0,067           | 0,068           |
| 38    | 1,2          | 1,86             | 0,003        | 0,005           | 0,3-2,0          | N:51°04'38.5"<br>E:19°25'55.5" | otoczenie stacji bazowej - 60m<br>wzdłuż gł. osi promieniowania - GKP  | 0,067           | 0,068           |
| 39    | 1,0          | 1,55             | 0,003        | 0,004           | 0,3-2,0          | N:51°04'39.2"<br>E:19°25'58.6" | otoczenie stacji bazowej - 120m<br>wzdłuż gł. osi promieniowania - GKP | 0,055           | 0,056           |
| 40    | 1,5          | 2,33             | 0,004        | 0,006           | 0,3-2,0          | N:51°04'38.1"<br>E:19°25'48.5" | otoczenie stacji bazowej - 75m<br>wzdłuż gł. osi promieniowania - GKP  | 0,083           | 0,085           |
| 41    | 1,5          | 2,33             | 0,004        | 0,006           | 0,3-2,0          | N:51°04'38.7"<br>E:19°25'47.8" | otoczenie stacji bazowej - 90m<br>wzdłuż gł. osi promieniowania - GKP  | 0,083           | 0,085           |
| 42    | 1,2          | 1,86             | 0,003        | 0,005           | 0,3-2,0          | N:51°04'40.4"<br>E:19°25'49.1" | otoczenie stacji bazowej - 100m<br>wzdłuż gł. osi promieniowania - GKP | 0,067           | 0,068           |
| 43    | 1,4          | 2,17             | 0,004        | 0,006           | 0,3-2,0          | N:51°04'35.7"<br>E:19°25'58.7" | otoczenie stacji bazowej -PKP  | 0,078           | 0,079           |
| 44    | 1,2          | 1,86             | 0,003        | 0,005           | 0,3-2,0          | N:51°04'33.5"<br>E:19°25'52.4" | otoczenie stacji bazowej -PKP  | 0,067           | 0,068           |
| A     | 1,2          | 1,86             | 0,003        | 0,005           | 0,3-2,0          | N:51°04'39.4"<br>E:19°25'55.9" | Krasickiego 30, pomiar przed<br>posesją – DPP                          | 0,067           | 0,068           |
| B     | 1,2          | 1,86             | 0,003        | 0,005           | 0,3-2,0          | N:51°04'42.6"<br>E:19°25'56.3" | Krasickiego 36a, pomiar przed<br>posesją – DPP                         | 0,067           | 0,068           |
| C     | 1,4          | 2,17             | 0,004        | 0,006           | 0,3-2,0          | N:51°04'44.2"<br>E:19°25'57.7" | Niska 4, pomiar przed<br>posesją – DPP                                 | 0,078           | 0,079           |
| D     | 1,6          | 2,48             | 0,004        | 0,007           | 0,3-2,0          | N:51°04'46.4"<br>E:19°25'58.5" | Dolna 2, pomiar przed<br>posesją – DPP                                 | 0,089           | 0,090           |
| E     | 1,8          | 2,79             | 0,005        | 0,007           | 0,3-2,0          | N:51°04'48.1"<br>E:19°26'01.8" | Dolna 12a, pomiar w otworze<br>okiennym, parter – DPP                  | 0,100           | 0,102           |
| F     | 2,0          | 3,10             | 0,005        | 0,008           | 0,3-2,0          | N:51°04'50.7"<br>E:19°26'02.7" | Dolna 17, pomiar przed<br>posesją – DPP                                | 0,111           | 0,113           |
| G     | 2,1          | 3,26             | 0,006        | 0,009           | 0,3-2,0          | N:51°04'53.3"<br>E:19°26'06.3" | Młodzowska 23, pomiar przed<br>posesją – DPP                           | 0,116           | 0,118           |
| H     | 1,6          | 2,48             | 0,004        | 0,007           | 0,3-2,0          | N:51°04'46.9"<br>E:19°26'02.8" | Dolna 2c, pomiar w otworze<br>okiennym, parter – DPP                   | 0,089           | 0,090           |
| I     | 1,2          | 1,86             | 0,003        | 0,005           | 0,3-2,0          | N:51°04'37.7"<br>E:19°25'57.4" | Krasickiego 24, pomiar przed<br>posesją – DPP                          | 0,067           | 0,068           |
| J     | 0,7*         | 1,24             | 0,002        | 0,003           | 0,3-2,0          | N:51°04'22.2"<br>E:19°26'08.3" | Krasickiego 1, pomiar przed<br>posesją – DPP                           | 0,044           | 0,045           |
| K     | 1,5          | 2,33             | 0,004        | 0,006           | 0,3-2,0          | N:51°04'30.1"<br>E:19°25'44.3" | 11 Listopada 11, pomiar przed<br>posesją – DPP                         | 0,083           | 0,085           |
| L     | 1,2          | 1,86             | 0,003        | 0,005           | 0,3-2,0          | N:51°04'31.3"<br>E:19°25'42.6" | 11 Listopada 11d, pomiar w otworze<br>okiennym, parter – DPP           | 0,067           | 0,068           |
| M     | 1,0          | 1,55             | 0,003        | 0,004           | 0,3-2,0          | N:51°04'22.1"<br>E:19°25'36.4" | Roweckiego 5, pomiar przed<br>posesją – DPP                            | 0,055           | 0,056           |
| N     | 1,2          | 1,86             | 0,003        | 0,005           | 0,3-2,0          | N:51°04'22.3"<br>E:19°25'35.4" | Roweckiego 7, pomiar przed<br>posesją – DPP                            | 0,067           | 0,068           |
| O     | 1,5          | 2,33             | 0,004        | 0,006           | 0,3-2,0          | N:51°04'36.9"<br>E:19°25'37.7" | 11 Listopada 4a, pomiar w otworze<br>okiennym, parter – DPP            | 0,083           | 0,085           |
| P     | 1,2          | 1,86             | 0,003        | 0,005           | 0,3-2,0          | N:51°04'37.8"<br>E:19°25'26.5" | 11 Listopada 14, pomiar w otworze<br>okiennym, parter – DPP            | 0,067           | 0,068           |
| R     | 1,3          | 2,02             | 0,003        | 0,005           | 0,3-2,0          | N:51°04'49.2"<br>E:19°25'42.2" | Krasickiego 19, pomiar przed<br>posesją – DPP                          | 0,072           | 0,073           |
| S     | 1,2          | 1,86             | 0,003        | 0,005           | 0,3-2,0          | N:51°04'49.9"<br>E:19°25'41.1" | Krasickiego 21, pomiar przed<br>posesją – DPP                          | 0,067           | 0,068           |
| T     | 1,4          | 2,17             | 0,004        | 0,006           | 0,3-2,0          | N:51°04'52.6"<br>E:19°25'40.5" | Okulickiego 1, pomiar przed<br>posesją – DPP                           | 0,078           | 0,079           |
| U     | 1,5          | 2,33             | 0,004        | 0,006           | 0,3-2,0          | N:51°04'53.1"<br>E:19°25'39.3" | Krasickiego 76, pomiar przed<br>posesją – DPP                          | 0,083           | 0,085           |

| Nr PP | Pole-E [V/m] | Pole-E, +U [V/m] | Pole-H [A/m] | Pole-H +U [A/m] | Wys. pomiaru [m] | Opis pionu                     | Uwagi                                      | WM <sub>E</sub> | WM <sub>H</sub> |
|-------|--------------|------------------|--------------|-----------------|------------------|--------------------------------|--|-----------------|-----------------|
| V     | 1,3          | 2,02             | 0,003        | 0,005           | 0,3-2,0          | N:51°04'54.4"<br>E:19°25'37.8" | Krasickiego 78, pomiar przed posesją – DPP | 0,072           | 0,073           |
| W     | 1,2          | 1,86             | 0,003        | 0,005           | 0,3-2,0          | N:51°04'55.0"<br>E:19°25'38.5" | Poprzeczna 2, pomiar przed posesją – DPP   | 0,067           | 0,068           |

Wynik pomiaru pole - E [V/m] - maksymalna wartość chwilowa zmierzona w danym pionie pomiarowym (uśredniona na podstawie punktu 11 załącznika do Rozporządzenia Ministra Klimatu z dnia 17 lutego 2020 r. w sprawie sposobów sprawdzania dotrzymania dopuszczalnych poziomów pól elektromagnetycznych w środowisku (Dz.U. 2022 poz. 2630)). Zgodnie z pkt. 7 załącznika do Rozporządzenia Ministra Klimatu z dnia 17 lutego 2020 r. w sprawie sposobów sprawdzania dotrzymania dopuszczalnych poziomów pól elektromagnetycznych w środowisku (Dz.U. 2022 poz. 2630) nie stosuje się poprawek pomiarowych.

Przyjęto najniższą dopuszczalną wartość składowej elektrycznej pola dla objętego pomiarami zakresu częstotliwości  $\min(ME_{gr}) = 28 \text{ V/m}$  oraz składowej magnetycznej  $\min(MH_{gr}) = 0,073 \text{ A/m}$ .

\* - wartość zmierzona poniżej zakresu akredytacji. Do obliczeń przyjęto wartość zgodną z dolną granicą akredytowanego zakresu pomiarowego metody.

GKP - główne kierunki pomiarowe

PKP - pomocnicze kierunki pomiarowe

DPP - dodatkowe punkty pomiarowe

PP - pion pomiarowy

U - niepewność pomiarowa rozszerzona, przy poziomie ufności 95%, z uwzględnieniem współczynnika rozszerzenia  $k=2$

WM<sub>E</sub> - wartość wskaźnikowa poziomu emisji pól elektromagnetycznych dla miejsc dostępnych dla ludności dla składowej elektrycznej pola

WM<sub>H</sub> - wartość wskaźnikowa poziomu emisji pól elektromagnetycznych dla miejsc dostępnych dla ludności dla składowej magnetycznej pola

## 7. Stwierdzenie zgodności

Na podstawie wytycznych podanych w Rozporządzeniu Ministra Zdrowia z dnia 17 grudnia 2019 r. w sprawie dopuszczalnych poziomów pól elektromagnetycznych w środowisku (Dz.U. 2019 poz. 2448) oraz sposobów sprawdzania dotrzymania tych poziomów zgodnie z Rozporządzeniem Ministra Klimatu z dnia 17 lutego 2020 r. w sprawie sposobów sprawdzania dotrzymania dopuszczalnych poziomów pól elektromagnetycznych w środowisku (Dz.U. 2022 poz. 2630), dotyczących źródła wymagań, które muszą być spełnione, w oparciu o zasadę podejmowania decyzji zgodną z pkt. 26 Rozporządzenia Ministra Klimatu z dnia 17 lutego 2020 r. (Dz.U. 2022 poz. 2630), na podstawie wyników pomiarów pól elektromagnetycznych wykonanych w dniu 21.12.2023r. i 28.12.2023 stwierdzono, że wszystkie wyniki przeprowadzonych pomiarów w danym obszarze pomiarowym oraz wyznaczone na tej podstawie wskaźniki WME oraz WMH są mniejsze od wartości dopuszczalnych – zgodnie z przepisami wydanymi na podstawie art. 122 ust. 1 ustawy z dnia 27 kwietnia 2001 r. – Prawo ochrony środowiska – załącznikiem do Rozporządzenia Ministra Klimatu i Środowiska z dnia 17 lutego 2020 r. w sprawie sposobów sprawdzania dotrzymania dopuszczalnych poziomów pól elektromagnetycznych w środowisku (Dz.U. 2022 poz. 2630, pkt 26).

## 8. Oświadczenie.

Wyniki badania odnoszą się wyłącznie do badanego obiektu.

Bez pisemnej zgody sprawozdanie nie może być powielane inaczej, jak tylko w całości.

Uwagi i zastrzeżenia przyjmowane są w formie pisemnej.

## 9. Spis załączników.

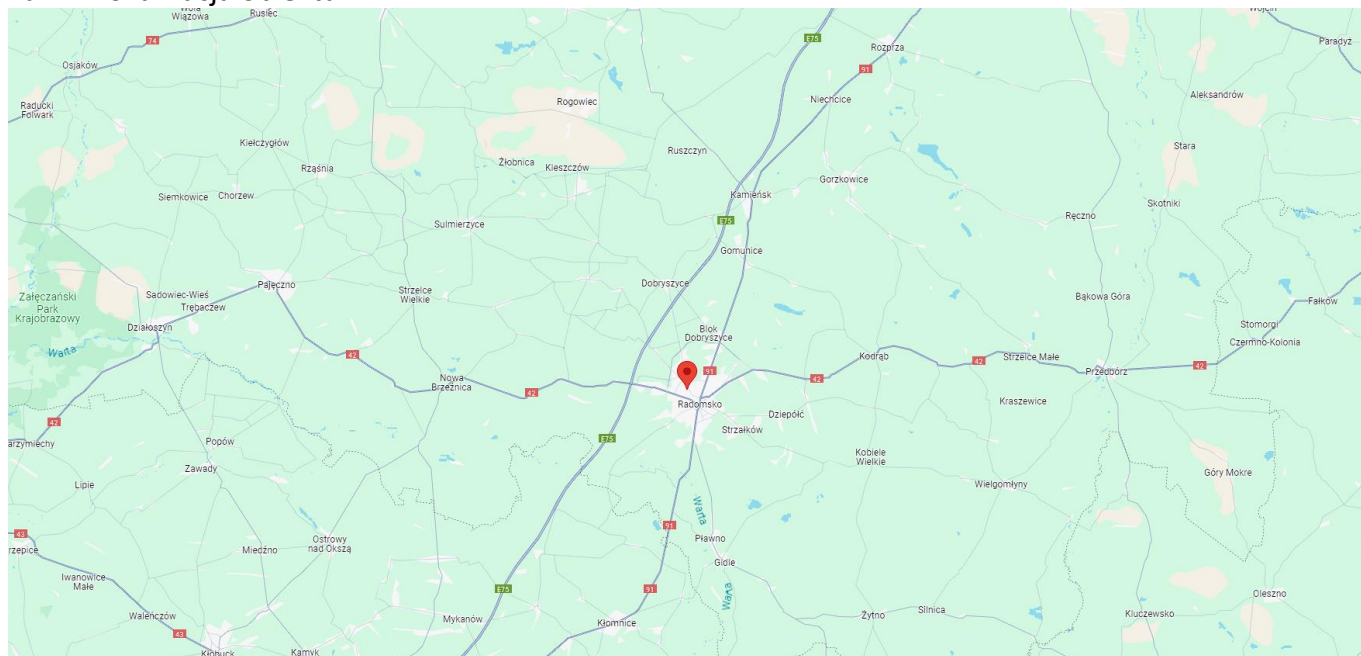
Załącznik 1. Lokalizacja obiektu.

Załącznik 2. Widok pionów pomiarowych

Załącznik 3. Załączniki graficzne

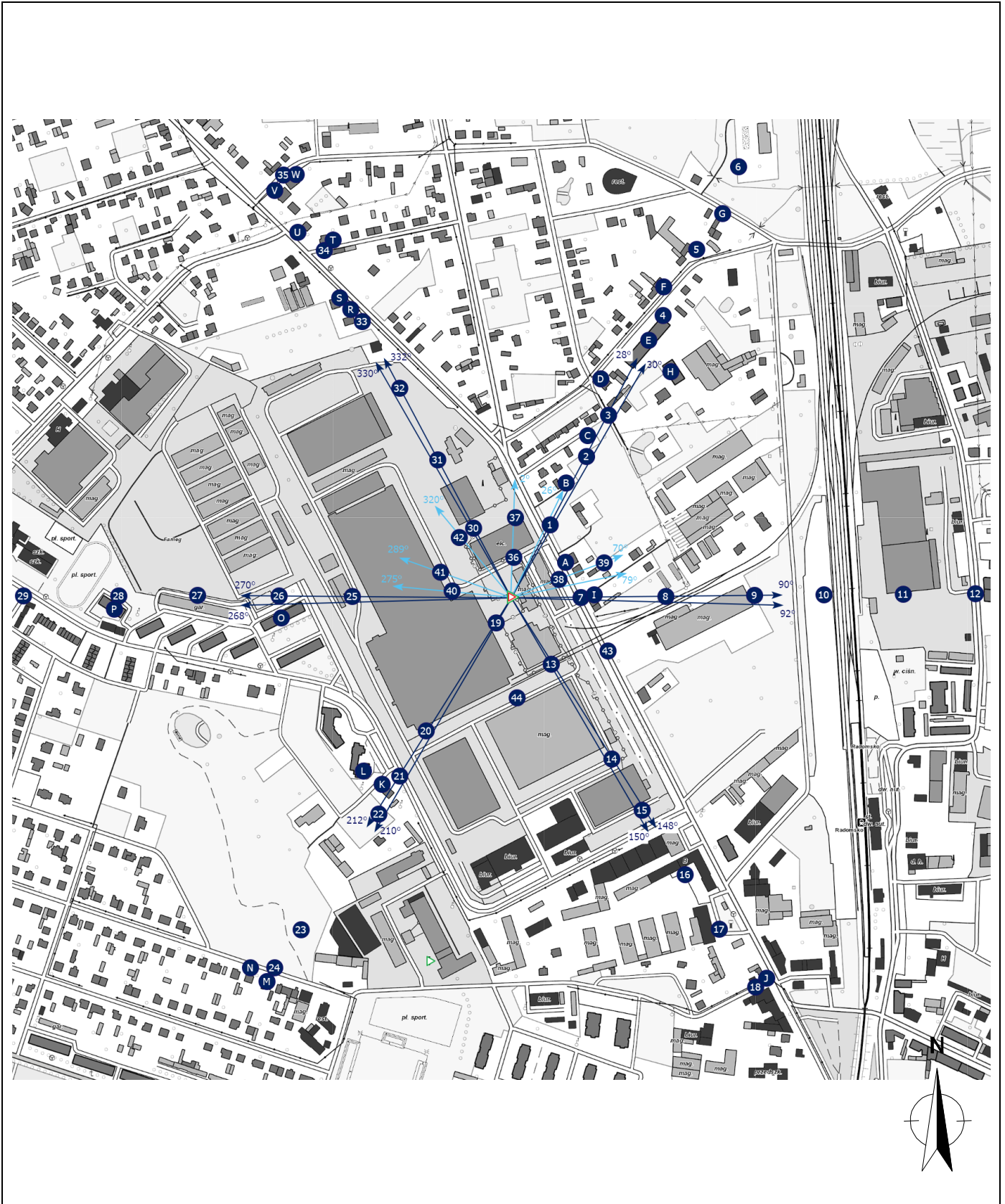
## Koniec sprawozdania

### Załącznik 1. Lokalizacja obiektu






| Współrzędne geograficzne |               |
|--------------------------|---------------|
| długość:                 | 19°25'52.53"E |
| szerokość:               | 51°04'37.81"N |

## Załącznik 2. Widok pionów pomiarowych





### LEGENDA:

-  inna instalacja telekomunikacyjna
-  instalacja telekomunikacyjna dla której wykonywano pomiar

 brak dostępu

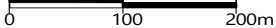
 pion pomiaru

 antena sektorowa

 antena radioliowa

Skala:

1:6600



„Bez pisemnej zgody Laboratorium niniejsze sprawozdanie nie może być powielane inaczej, jak tylko w całości. Ponadto wyniki dotyczą tylko badanych obiektów przywołanych w niniejszym sprawozdaniu z badań”



### Załącznik 3. Załączniki graficzne.

